

## تعیین ماکریم ظرفیت حمل بار دینامیکی بین دو نقطه از فضای کاری برای روبات کابلی

محرم حبیب نژاد کورایم<sup>۱</sup>، خالد نجفی<sup>۲</sup> و مهدی بامداد<sup>۳</sup>

Najafi.khaled @ yahoo.com

### چکیده

در این مقاله، با توجه به خصوصیات ظرفیت حمل بار بالا و فضای کاری نسبتاً بزرگ روبات های کابلی، ماکریم ظرفیت حمل بار دینامیکی برای روبات کابلی بین دو نقطه داده شده از فضای کاری همراه با مسیر بهینه محاسبه شده است. برای این کار، ابتدا دینامیک روبات های کابلی به روش لاگرانژ بدست آمده است و سپس برای یافتن ظرفیت حمل بار دینامیکی روبات های کابلی علاوه بر در نظر گرفتن قید ظرفیت گشتاور موتورها، قید فضای کاری نیز جهت بدست آوردن نیروی کشش مشیت در کابل‌ها در نظر گرفته شده است. مسئله به صورت یک مسئله بهینه سازی مسیر فرمول بندی شده است که اساساً یک مسئله بهینه سازی مقید غیر خطی است و سپس روش برنامه ریزی خطی تکرار پذیر برای حل مسئله بهینه سازی به کار رفته است. در پایان یک مثال عددی از روبات کابلی ۶ درجه آزادی ارائه شده و نتایج حاصله بحث شده است.

### کلیدواژه:

روبات کابلی - ماکریم ظرفیت حمل بار - مسیربهینه

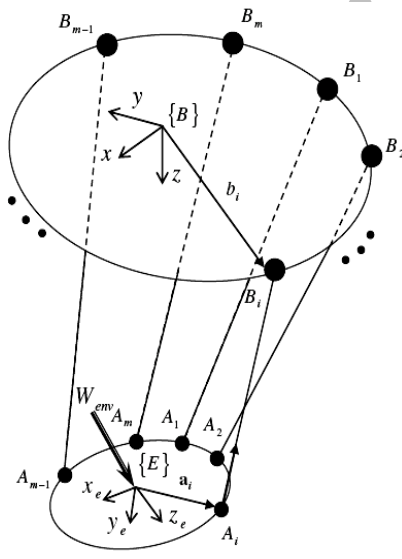
۱- استاد، دانشکده مهندسی مکانیک، دانشگاه علم و صنعت ایران

۲- دانشجوی کارشناسی ارشد، مهندسی مکانیک ساخت و تولید، دانشگاه آزاد اسلامی واحد علوم تحقیقات

۳- دانشجوی دکتری، دانشکده مهندسی مکانیک، دانشگاه علم و صنعت ایران، bamdad@iust.ac.ir

سیستم رباتیک یک مقدار یکتا ندارد و این موضوع مستقیماً به مسیر انتخاب شده بین دو نقطه وابسته است. بنابراین، هدف اصلی این مقاله یافتن مسیر بهینه با ماکریزم بار مجاز بین دو نقطه از فضای کاری در یک زمان مشخص است و برای این کار از دو قید گشتاور موتورها و فضای کاری روبات به عنوان قیود اصلی استفاده شده است، که هر دو قید ذکر شده روی مقدار کشش کابل‌ها تاثیر مستقیم دارند. برای اینکار یکتابع هدف مناسب تعریف شده است و معادلات دینامیک در شکل فضای حالت خطی شده و سپس روش برنامه ریزی خطی تکرار پذیر<sup>۱</sup> بصورت عددی برای حل مساله بهینه سازی بکار رفته است.

**۲- مدلسازی سینماتیک و دینامیک روبات‌های کابلی**  
 معادلات سینماتیک و دینامیک یک روبات اغلب برای توضیح روابط بین عملگر نهایی یک روبات و محرك‌های آن به کار می‌روند. به خاطر تحریک کابل‌ها در روبات کابلی، مدلسازی دینامیکی این گونه روبات‌ها خیلی شبیه مدلسازی دینامیکی روبات‌های موازی نیست. یک مدل کلی از یک روبات کابلی که عملگر نهایی بوسیله  $m$  کابل به پایه متصل شده است، در نظر گرفته می‌شود و همچنین سیستم مختصات و پارامترهایی که سیستم را تعریف می‌کنند در شکل (۱) ارائه شده است.



شکل (۱): شکل کلی یک روبات کابلی [۷]

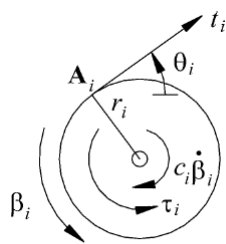
فرض کنید  $W_{env} = [F_{env}, M_{env}]$  نیرو-ممان اعمالی از طرف محیط به مرکز عملگر نهایی باشد و  $T = [T_1, T_2, \dots, T_m]$  بردار

## ۱- مقدمه

ربات‌های کابلی یک فرم خاصی از ربات‌های موازی هستند که در آنها کابل‌ها جایگزین لینک‌های صلب شده‌اند. روبات‌های کابلی در مقایسه با روبات‌های مرسوم سری و موازی دارای چندین مزیت هستند دارند برای مثال: چنین مکانیزم‌هایی یک فضای کاری نسبتاً بزرگی دارند و بطور کلی به خاطر عدم استفاده از سیستم‌های هیدرولیکی و یا پنوماتیکی سبک‌تر هستند، علاوه بر آن نسبت بار به وزن (یعنی مقدار باری که در مقایسه با وزن روبات جابجا می‌کند) در آنها بالاست و از لحاظ اقتصادی ساختار آنها مقرر باشد. از طرف دیگر، اصلی ترین عیب روبات‌های کابلی این است که کابل‌ها فقط قادر به اعمال نیروی کششی هستند و نمی‌توانند نیروهای فشاری را تحمل کنند. بعضی از کارهای انجام شده بر روی روبات‌های کابلی عبارتند از: Robocrane که توسط NIST<sup>۱</sup> برای کار در بنادر کشتیرانی توسعه پیدا کرده است [۱]. از بحث‌های مهم دیگر در زمینه روبات‌های کابلی، که بر روی پایداری روبات از نظر مثبت بودن کشش کابل‌ها تاثیر دارد فضای کاری روبات است که توسط محققان زیادی مطالعه شده است [۲]، [۳]. با توجه به ظرفیت حمل بار سوالی که پیش می‌آید این است که: "ماکریزم ظرفیت حمل بار دینامیکی همراه با مسیر بهینه چیست؟"

ماکریزم بار مجاز یک روبات اغلب به این صورت تعریف می‌شود: ماکریزم باری که روبات می‌تواند مکرراً در یک مسیر جابجا کند. بنابراین، برای تعیین ماکریزم بار مجاز یک روبات، تأثیرات این روبات بر درامداد یک مسیر مشخص به خوبی باید در محاسبات مربوط به دینامیک روبات وارد شده باشد. وانگ و روانی، ایده‌ای برای روبات‌های پایه ثابت ارائه داده‌اند، در ایده آنها تعیین ظرفیت حمل بار به صورت یک مساله بهینه‌سازی فرمول‌بندی شده است و در تحلیل‌های آنها ظرفیت گشتاور موتورها به عنوان قید اصلی مورد تأکید قرار گرفته است [۴]، [۵]. کورایم و غریبلو، ماکریزم بار مجاز را برای بازوهای متحرک بین دو نقطه داده شده برای یک زمان مشخص با در نظر گرفتن قید گشتاور و افزونگی سینماتیکی و قید های غیر همگن به روش برنامه ریزی خطی بدست آورده‌اند [۶]. کورایم و بامداد، ظرفیت حمل بار دینامیکی را برای روبات‌های کابلی با در نظر گرفتن قید گشتاور موتورها و ظرفیت نیروی کششی کابل‌ها برای یک مسیر از قبل تعیین شده، در زمان مشخصی بدست آورده‌اند [۷].

در کاربردهایی که مقادیر بزرگی از بار باید بین دو نقطه نسبتاً دور از هم در یک بازه زمانی مشخص جابجا شود ظرفیت حمل بار یک



شکل(۲): دیاگرام آزادآمین محرك[۹]

معادلات دینامیک ترکیب شده موتور و پولی می تواند به صورت زیر

بیان شود:

$$\tau - \tau_{vel} = rT \quad (3)$$

$$\tau_{vel} = J_a \cdot \ddot{\beta} - C_a \cdot \dot{\beta} \quad (4)$$

شعاع پولی هر یک از محرك ها است،  $J_{a_i}$  اینرسی دورانی هر یک از سیستم شفت/ پولی موتور است و  $C_{a_i}$  ضریب دمپینگ ویسکوزیته در هر محور موتور برای ایجاد یک مدل خطی اصطکاک سیستم، تعریف شده است.

$$J_a = diag(J_1, J_2, \dots, J_m) \quad (5)$$

$$C_a = diag(C_1, C_2, \dots, C_m) \quad (6)$$

با جایگذاری  $T$  از معادله (۳) و قرار دادن آن در معادله (۱) معادله دینامیک نهایی روبات کابلی شامل دینامیک عملگر نهایی و محرك به فرم حلقه بسته به صورت زیر است:

$$D(q)\ddot{q} + C(q,\dot{q}) + G(q) = -\frac{1}{r}J^T(\tau_{vel} - \tau) \quad (6)$$

### ۳- معادلات دینامیک خطی شده در فضای حالت:

برای بدست آوردن حل عددی مسئله بهینه سازی مقید غیر خطی مسیر حرکت، برای افزایش ظرفیت حمل بار، معادله دینامیک (۶) می تواند به صورت زیر نوشته شود:

$$\ddot{q} = D(q)^{-1} \left( -\frac{1}{r}J^T(\tau_{vel} - \tau) - C(q,\dot{q}) - G(q) \right) \quad (7)$$

با بیان بردار حالت به صورت  $X = [x_1, x_2]^T$  و با در نظر گرفتن معادله (۷) به صورت  $x_2 = (q_1, \dot{q}_1, \dots, \dot{q}_n)^T$  و  $x_1 = (q_1, q_2, \dots, q_n)^T$

زیر نوشتہ می شود:

$$\vec{X} = \begin{bmatrix} \vec{x}_1 \\ \vec{x}_2 \end{bmatrix} = \begin{bmatrix} \vec{x}_1 \\ f(\vec{X}(j), \vec{r}(j), m_L) \end{bmatrix} = \vec{F}(\vec{X}(j), \vec{r}(j), m_L) \quad (8)$$

کشن کابلها باشد. موقعیت و جهت گیری مرکز عملگر نهایی نسبت به سیستم مختصات مرجع ( $F_N$ ) توسط شش متغیر  $q = [x, y, z, \psi, \theta, \phi]$  و بردار طول کابلها به صورت  $L = [L_1, L_2, \dots, L_m]^T$  تعریف شده هستند. معادلات حرکت روبات کابلی با استفاده از مدلسازی لاغرانژ و با در نظر گرفتن جرم توزیع یافته برای عملگر نهایی و با اعمال فرضیات زیر به شکل رابطه (۱) بدست آمده است. [۸]

- از جرم کابلها صرفنظر شده است.
- ضخامت عملگر نهایی در مقایسه با ابعاد آن کم است.
- فرض شده است که کابلها در اثر وزن خود تغییر شکل نداده و همواره به شکل کشیده شده هستند.

$$D(q)\ddot{q} + C(q,\dot{q}) + G(q) = -J^T \cdot T \quad (1)$$

که  $D(q)$  ماتریس اینرسی و  $C(q,\dot{q})$  بردار کربولیس و  $G(q)$  بردار ثقل هستند. ماتریس ژاکوبین برای روبات های کابلی به صورت زیر تعریف شده است:

$$J = \begin{bmatrix} \bar{\lambda}_1^T & \dots & (\bar{R}_E a_1 \times \bar{\lambda}_1)^T \\ \bar{\lambda}_m^T & \dots & (\bar{R}_E a_m \times \bar{\lambda}_m)^T \end{bmatrix} \quad (2)$$

که  $\bar{\lambda}_1, \bar{\lambda}_2, \dots, \bar{\lambda}_m$  بردارهای واحدی در امتداد طول کابلها هستند و  $\bar{R}_E$  ماتریس دوران حول دستگاه مختصات پایه  $F_N$  است و  $a_i$  و  $b_i$  بردارهای موقعیت نقاط اتصال کابلها بر روی عملگر نهایی و پلت فرم پایه، نسبت به دستگاه محرك  $\{E\}$  و دستگاه مرجع  $\{B\}$  هستند. دینامیک یک روبات کابلی به حرکت نسبی عملگر نهایی و گشتاورهای مورد نیاز موتورها  $\tau$  مربوط می شود و عملگر نهایی بواسطه جمع شدن و باز شدن کابلها از موتورهایی که در دورترین نقطه فضای کاری و بر روی پلت فرم پایه قرار گرفته اند تحریک می شود لذا نیروی کابلها با استفاده از معادله دینامیکی عملگر نهایی و محركها (شامل سیستم پولی و موتور) بدست می آید که در این مقاله رفتار دینامیکی محركها نیز در نظر گرفته شده است. دیاگرام آزاد برای آزادآمین محرك در شکل(۲) نشان داده شده است [۹].

برای سهولت در حل مسئله LP، معادله (۱۸) می تواند به فرم زیر نوشته شود:

$$\begin{aligned} \vec{\beta}_m m_L + [E] \vec{\tau}_m - \vec{e} &\leq \vec{X}(t_f) - \vec{X}_h(m+1) \\ \vec{\beta}_m m_L + [E] \vec{\tau}_m + \vec{e} &\geq \vec{X}(t_f) - \vec{X}_h(m+1) \end{aligned} \quad (۱۹)$$

لازم به ذکر است که  $[E]$  و  $X_h(m+1)$  در معادله (۱۹) براساس مقادیر متغیرهای حالت و کنترل در تکار مرحله قبل محاسبه می شوند و  $t_f$  نیز جزو داده های مسئله است، تنها مقادیر مجهول  $m_L$  و بردار  $\vec{\tau}$  هستند. که  $\vec{e} = [e_{pos1}, e_{pos2}, \dots, e_{vel1}, e_{vel2}, \dots] \in R^{2n}$  نشان دهنده ترانس خطا در موقعیت و سرعت انتهای مسیر است. این اصلاح در روابط، دو متغیر جدید  $e_{pos}, e_{vel}$  و  $2n$  قید به صورت نامعادله به مسئله اضافه می کند. اگر موتورهای محرك از نوع DC با مغناطیس دائمی در نظر گرفته شوند، آنگاه با توجه به تابع مشخصه سرعت/گشتاور آنها [۵]:

$$\vec{Y} \leq \vec{b}_u - \vec{b}_l \quad (۲۰)$$

که  $b_u$  و  $b_l$  به ترتیب حدود پایین و بالای مربوط به گشتاور خروجی موتورها هستند و چون تمام کابل ها باید در کشش مثبت باشند و کشش در کابل ها نباید منفی شود لذا رابطه (۲۰) به صورت زیر نوشته می شود:

$$\vec{b}_l = 0 \Rightarrow \vec{Y} \leq \vec{b}_u \quad (۲۱)$$

در حین حرکت، جا به جایی عملگر نهایی باید در محدوده فضای کاری روبات باشد در غیر این صورت کابل ها کشش مثبت خود را از دست خواهند داد.  $x_1^+, x_1^-$  به ترتیب حدود پایین و بالای محدوده فضای کاری هستند [۲]. با استفاده از معادله (۱۱) قیدهای مرتبط با فضای کاری به صورت زیر نوشته می شود:

$$\vec{x}_1^- - \vec{X}_{1h}(j+1) \leq \vec{\beta}_j m_L + \sum_{i=1}^j [a_{ji}] \vec{\tau}(i) \leq \vec{x}_1^+ - \vec{X}_{1h}(j+1) \quad (۲۷)$$

$$j = 1, 2, \dots, m$$

$X_h(j+1)$  و  $\beta_{ij}$  بردارهای فوقانی  $n \times 1$  مربوط به  $X_{1h}(j+1)$  و  $\beta_j$  هستند و  $[a_{ji}]$  بخش فوقانی ماتریس  $[\alpha_{ji}]$  و از مرتبه  $n \times n$  است و معادله (۲۷) با فرض:

$[A_j] = [\alpha_{1j1}, \alpha_{1j2}, \dots, \alpha_{1jj}, 0, 0, \dots, 0] \in R^{n \times nm}$  می تواند به شکل

زیر نوشته شود:

$$\vec{\beta}_{ij} m_L - [A_j] \vec{Y} \leq [\vec{x}_1^+ - \vec{X}_{1h}(j+1)] - [A_j] \vec{b}_u \quad (۲۸)$$

$$j = 1, 2, \dots, m$$

معادله (۸) ارائه معادلات دینامیک در فضای حالت است که  $X \in R^{2n}$  و  $f$  شامل  $n$  تابع غیر خطی است. شکل تجزیه شده معادلات دینامیکی (۸) به صورت زیر بیان می شود:

$$\frac{\vec{X}(j+1) - \vec{X}(j)}{h} = \vec{F}(\vec{X}(j), \vec{\tau}(j), m_L) \quad (۹)$$

که  $h = \frac{\Delta T}{m}$  و  $\Delta T$  زمان کل حرکت و  $m$  تعداد نقاط استفاده شده برای تجزیه مسیر هستند. با استفاده از سری تیلور تابع غیر خطی  $f$  در مسیر  $k+1$  حول مسیر  $k$  می سط داده می شود و با صرفنظر کردن از ترم های مرتبه بالاتر (ترم های غیر خطی) و ساده سازی عبارات، معادله زیر بدست می آید:

$$\vec{X}(j+1) = [G_j] \vec{X}(j) + [H_j] \vec{\tau}(j) + \vec{B}_j m_L + D_j \quad (۱۰)$$

که ماتریس های  $[H_j], [G_j]$  و بردارهای  $\vec{\beta}_j, D_j$  در [۵] ارائه شده است.  $(j+1) X$  را می توان به صورت ترکیب خطی از جرم بار و گشتاور کنترلی  $j$  نوشت، به عبارت دیگر معادله (۱۰) به صورت زیر نوشته می شود:

$$\vec{X}(j+1) = \vec{X}_h(j+1) + \vec{\beta}_j m_L + \sum_{i=1}^j [\alpha_{ji}] \vec{\tau}(i) \quad (۱۱)$$

$$j = 1, 2, \dots, m$$

این معادله (۱۱) معادله پایه دینامیک خطی شده است که در آن:

$$\vec{X}_h(1) = \vec{X}(t_1) \quad (۱۲)$$

$$\vec{X}_h(j+1) = [G_j] \vec{X}_h(j) + \vec{D}_j \quad (۱۳)$$

$$\vec{\beta}_1 = \vec{B}_1 \quad (۱۴)$$

$$\vec{\beta}_i = [G_j] \vec{\beta}_{j-1} + \vec{\beta}_1 \quad (۱۵)$$

$$[a_{ji}] = [G_j] [a_{j-1,i}] \quad (\text{for } i < j) \quad (۱۶)$$

$$[a_{ji}] = [H_j] \quad i = j \quad (۱۷)$$

#### ۴- فرمولاسیون برنامه ریزی تکرار پذیر

روش ILP با استفاده از برنامه ریزی خطی، معادلات خطی شده را در هر تکرار حل می کند. مسئله برنامه ریزی خطی می تواند به شرح زیر فرمول بندی شده باشد:

ابتدا حالت نهایی  $(m+1) X$  را می توان از معادله (۱۱) بدست آورد:

$$\vec{X}(m+1) = \vec{X}_h(m+1) + \vec{\beta}_m m_L + \sum_{i=1}^m [a_{mi}] \vec{\tau}(i) = X(t_f) \quad (۱۸)$$

یک چند جمله‌ای است که دو نقطه ابتدایی و انتهایی مسیر را در فضای حرکت به هم وصل کند.

مرحله ۲ : ماتریس‌های  $[G_j]$  و  $[H_j]$  و بردارهای  $B_j$  و  $D_j$  محاسبه شده و  $X_h(j+1)$  برای  $j = 1, \dots, m$  و  $\beta_j$  و  $\alpha_{j,i}$  برای  $i = 1, \dots, m$  بصورت بازگشت پذیر محاسبه شود.

مرحله ۳ : محاسبه ماتریس قیدها (رابطه (۳۰)) و فراخوانی دستور کامپیوترا حل برنامه ریزی خطی. اگر برنامه ریزی خطی جواب نداشت آنگاه با تغییر پارامترهای خاص به مرحله ۲ بازگشت شود. در غیر این صورت ظرفیت حمل بار دینامیکی  $m_L^{k+1}$  محاسبه شود و کنترل بهینه  $\vec{e}_i^{k+1}$  از معادله (۲۱) محاسبه شود.

مرحله ۴ : مسیر بهینه  $\vec{X}^{k+1}$  با استفاده از معادله بازگشت پذیر (۱۰) محاسبه شود.

مرحله ۵ : معیارهای ختم برنامه کنترل شود یعنی اینکه اگر روابط

$$\max\{e_{pos}, e_{vel}\} \leq \varepsilon_e \quad (33)$$

$$\max\{\|\vec{X}^{k+1}(j) - \vec{X}^k(j)\|, j = 2, \dots, m\} \leq \varepsilon_x \quad (34)$$

$$|m_L^{k+1} - m_L^k| \leq \varepsilon_m \quad (35)$$

که شرایط اتمام برنامه هستند ارضاء شدند پس مسیر بدست آمده، مسیر بهینه است و  $m_L$  متناظر با آن نیز به عنوان ماکریزم بار مجاز است که می‌تواند توسط روبات کابلی حمل شود در غیر اینصورت، برنامه به مرحله ۲ باز خواهد گشت. با ارضاء معادلات (۳۳) و (۳۴) و (۳۵) عمل خطاها خطی سازی کاهش یافته و یا حذف خواهد شد. پس مقدار ثابت واژ پیش تعیین شده ای هستند).

## ۶- نتایج شبیه سازی

در این بخش یک نوع روبات کابلی جرثقیلی ۶ درجه آزادی که در شکل (۳) نشان داده شده است مورد مطالعه و شبیه سازی قرار گرفته است. در این مورد از رفتار الاستیک در کابل‌ها و مفاصل صرف‌نظر شده است. مشخصات هندسی و مکانیکی و پارامترهای مربوط به سیستم محرکه روبات شامل موتورها و پولی‌های بکار رفته در شبیه سازی برای روبات کابلی به ترتیب در جداول شماره (۱) و (۲) لیست شده است [۸]. در این شبیه سازی فرض شده است که روبات کابلی باری را از نقطه ابتدایی به مختصات  $X = [-0.2, -0.4, 2, 0, 0, 0]$  متر به نقطه دیگری در داخل فضای کاری روبات به مختصات  $X = [0.1, 0.2, 1.3, 0, 0, 0]$  متر در مدت زمان  $t_f = 1$  ثانیه حمل کند ابتدا توجه کنید که سرعت روبات هم در نقطه ابتدایی و انتهایی صفر است. برنامه در محیط نرم افزار MATLAB نوشته شده است. ماتریس‌های اینرسی و ژاکوبین و

$$-\vec{\beta}_{1j}m_L + [A_j]\vec{Y} \leq [\vec{X}_{1h}(j+1) - \vec{x}_1^-] + [A_j]\vec{b}_u \quad (29)$$

$$j = 1, 2, \dots, m$$

با ترکیب تمام قیدها و نوشتن آن‌ها به شکل ماتریسی :

$$\begin{bmatrix} 1 & 0 & 0 \\ [0] & [1]_{(nm \times nm)} & [0] \\ \pm \beta_{1j} & \mp [A_j]_{(nm \times nm)} & [0] \\ \beta_{m(2n \times 1)} & -[E]_{(2n \times nm)} & -[I]_{(2n \times 2n)} \\ -\beta_{m(2n \times 1)} & [E]_{(2n \times nm)} & [I]_{(2n \times 2n)} \end{bmatrix} \begin{bmatrix} m_L \\ \vec{Y}_{(nm \times 1)} \\ \vec{e}_{(2n \times 1)} \end{bmatrix}$$

$$\leq \begin{bmatrix} m_L^+ \\ \vec{Y}_{\text{limit}}_{(nm \times 1)} \\ \vec{X}_{\text{limit}}_{(nm \times 1)} \\ \vec{X}_f^+ \\ \vec{X}_f^- \end{bmatrix} \quad (30)$$

تابع هدف در مسئله برنامه ریزی خطی بیشینه کردن ظرفیت حمل بار دینامیکی یعنی  $m_L$  است در مسئله بالا تابع هدف ( $m_L$ ) یک متغیر مستقل است که تابعی از زمان نیست و این متغیر در طول مسیر یک مقدار ثابت است. این نکته باید مورد توجه قرار گیرد که  $m_L$  بطور ضمنی در معادلات غیرخطی فضای حالت وجود دارد. این مسئله از این نظر که قیدهای مسئله دارای ماهیت غیر خطی هستند، تبدیل به یک مسئله بهینه سازی مقید و غیرخطی می‌گردد. پس تعریف ریاضی تابع هدف به این صورت است:

$$Z = \max\{C^T V\}, \quad C = [1, 0, 0, \dots, -W_{pos}, -W_{vel}] \quad (31)$$

$$W_{pos}, W_{vel} > 0$$

که  $W_{vel}, W_{pos}$  ضرایب وزنی متناظر با  $\vec{e}_{vel}, \vec{e}_{pos}$  هستند:

$$\bar{V} = [m_L, \vec{Y}, \vec{e}_{pos}, \vec{e}_{vel}]^T \bar{Y} \geq 0 \quad (32)$$

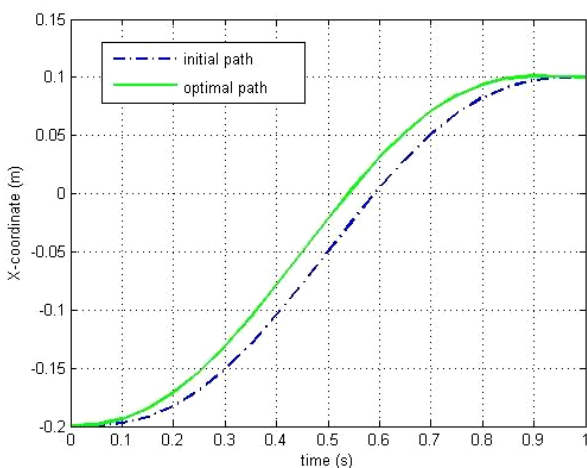
با تابع هدف ذکر شده در بالا می‌توان ظرفیت حمل بار دینامیکی را ماکریزم کرد و بطور همزمان خطاها موقعیت و سرعت را مینیمم کرد چون تابع هدف (۳۱) و قیود (۳۰) همه خطی هستند، ما یک مسئله برنامه ریزی خطی استاندارد داریم.

## ۵- فرایند محاسباتی

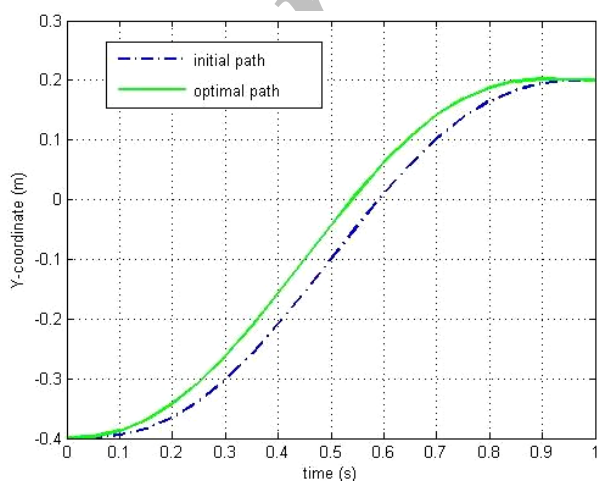
مرحله ۱ : یک مسیر اولیه، حدس زده می‌شود. این مرحله شامل بدست آوردن متغیرهای حالت ( $j$ )  $\vec{X}^{j+1}$  و گشتاورهای اولیه  $\vec{e}_i^{j+1}$  به ازای یک جرم اولیه  $m_L^1$  است. یک حدس اولیه خوب، انتخاب

## تعیین ماکریم ظرفیت حمل بار دینامیکی بین دو نقطه از فضای کاری برای روبات کابلی

کردن دو قید به کار رفته در حل مسئله،  $m_{Load} = ۳۳/۳۷$  بدست می‌آید. شکل‌های (۴) و (۵) و (۶) موقعیت  $x, y, z$  مرکز جرم عملگر نهایی را به صورت مجزا برای مسیر بهینه و حدس اولیه نشان می‌دهند. شکل (۷) جواب برنامه ریزی خطی را برای  $m_{Load}$  در هر تکرار نشان می‌دهد. شکل‌های (۸، ۹، ۱۰، ۱۱، ۱۲، ۱۳) گشتاور ۶ تا موتور طی حرکت در مسیر بهینه هستند که حدود بالا و پایین ظرفیت گشتاور موتورها نیز نشان داده شده اند. همانطور که مشاهده می‌کنید روبات کابلی وقتی در مسیر بهینه حرکت می‌کند موتورها به حد اشباع رسیده یا نزدیک آن حرکت می‌کنند. شکل (۱۴) کشش هر کابل را به ازای جرم‌های مختلف که در نمودار (۷) نشان داده شده است را نمایش می‌دهد. با مشاهده این نمودارها می‌توان فهمید که روبات در مدت زمان حرکت بر روی مسیر بهینه و مسیرهای قبل از آن (در تکرارهای قبلی) پایدار بوده و هیچ کدام از کابل‌ها کشش مثبت خود را از دست نداده اند.

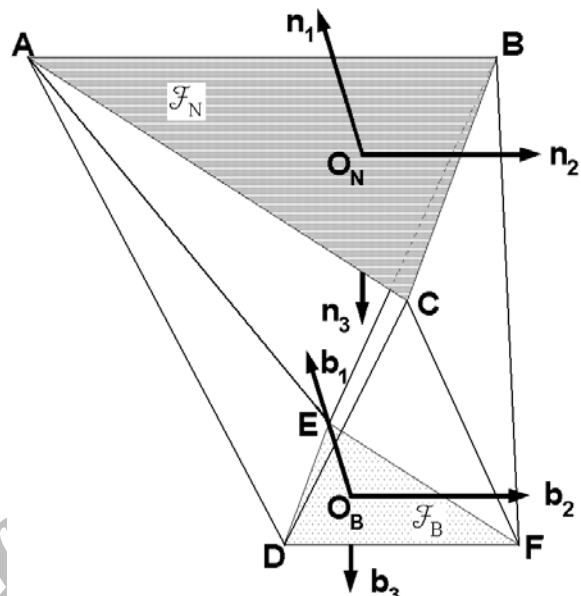


شکل (۴): مختصات X مرکز عملگر نهایی



شکل (۵): مختصات Y مرکز عملگر نهایی

بردارهای کریولیس و تقلیل برای روبات کابلی شبیه سازی شده در بخش ضمیمه ارائه شده است.



شکل (۳): دیاگرام آزاد روبات کابلی ۶ درجه آزادی [۱]

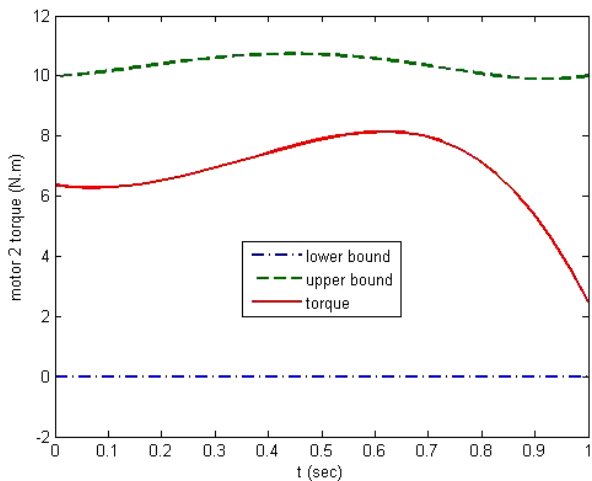
جدول شماره (۱): پارامترهای شبیه سازی برای سیستم محرک

واحد	اندازه	پارامترها
$m$	$r = 5 \times 10^{-2}$	شعاع پولی
$N.m.s$	$c = 0.01$	ضریب دمپینگ ویسکوزیته موتور
$Kg.m^2$	$J = 8 \times 10^{-4}$	اینرسی دورانی موتور
$N.m$	$\tau_{stall} = 10$	گشتاور ماکریم
$RPM$	$\omega_0 = 1910$	ماکریم سرعت بدون بار

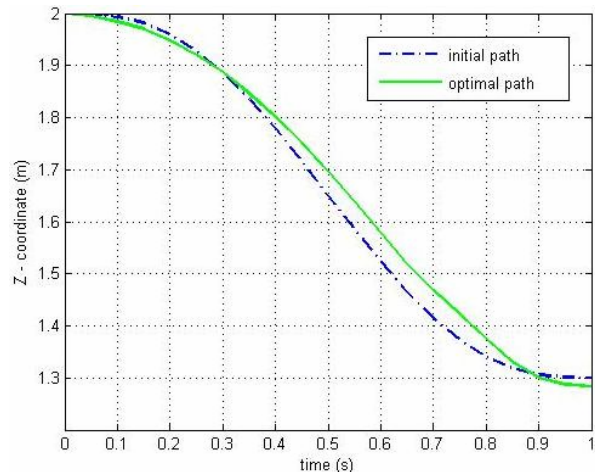
جدول شماره (۲): پارامترهای شبیه سازی برای هندسه روبات کابلی

واحد	اندازه	پارامترها
$kg$	$m = 11.68$	جرم عملگر نهایی
$m$	$b = 6$	اندازه فاصله ساعی از نقطه اتصال کابل‌ها ( مثلث بالایی )
$m$	$a = \frac{1}{2}b$	اندازه فاصله ساعی از نقطه اتصال کابل‌ها (عملگر نهایی)
$kg.m^2$	$I_{xx} = I_{yy} = m \frac{a^2}{6}$ $I_{zz} = 2I_{xx}$ $I_{xy} = I_{zx} = I_{yz} = 0$	ممان اینرسی عملگر نهایی
$kg$	$m_l = 1$	بار اولیه

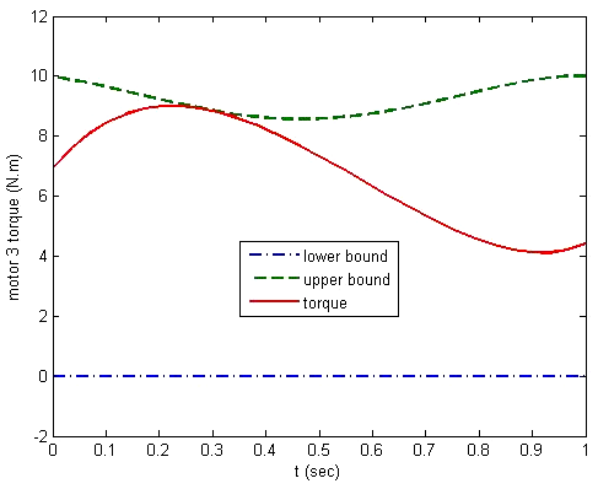
با تجزیه کردن مسیر به ۲۰ نقطه برنامه نوشته شده در ششمین تکرار به جواب همگرا می‌شود و ماکریم بار قابل حمل بدون نقص



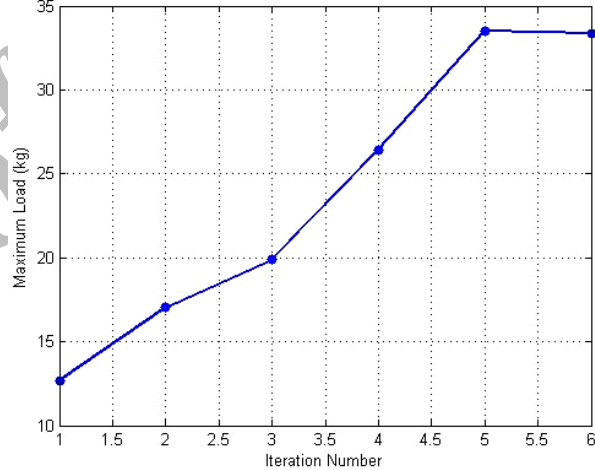
شکل(۹): گشتاور موتور شماره(۲) طی حرکت بر روی مسیر بهینه



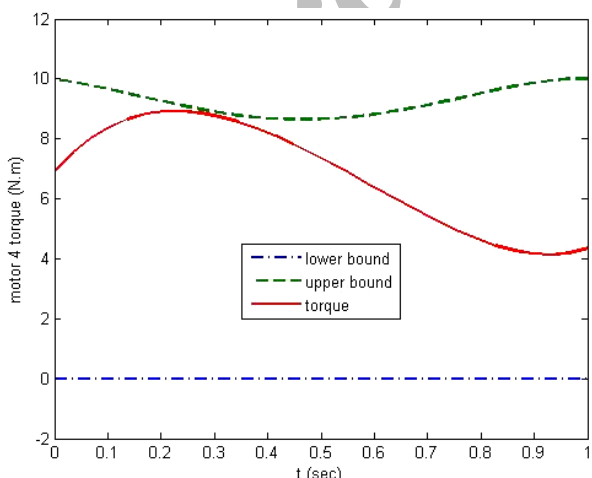
شکل(۶): مختصات Z مرکز عملکرد نهایی



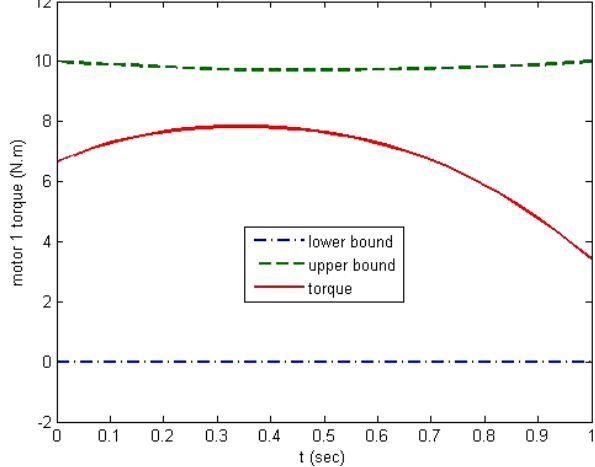
شکل(۱۰): گشتاور موتور شماره(۳) طی حرکت بر روی مسیر بهینه



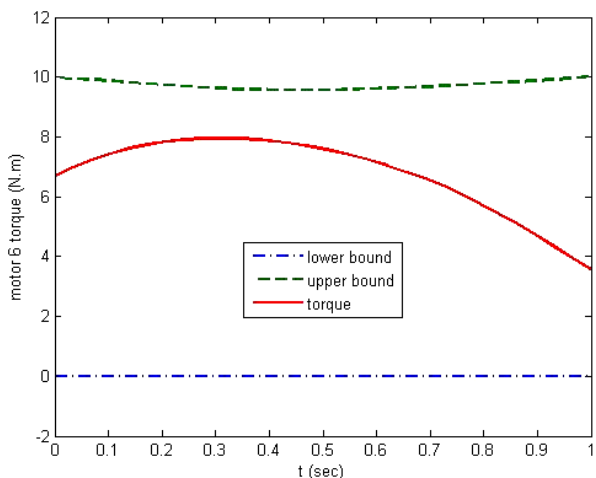
شکل(۷): ماکزیمم بار قابل حمل در هر تکرار



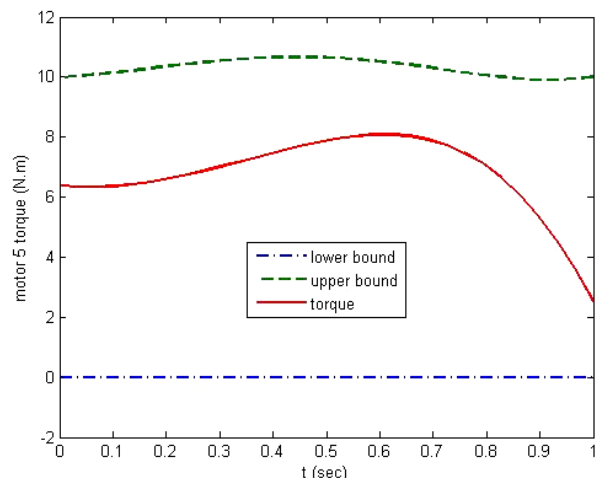
شکل(۱۱): گشتاور موتور شماره(۴) طی حرکت بر روی مسیر بهینه



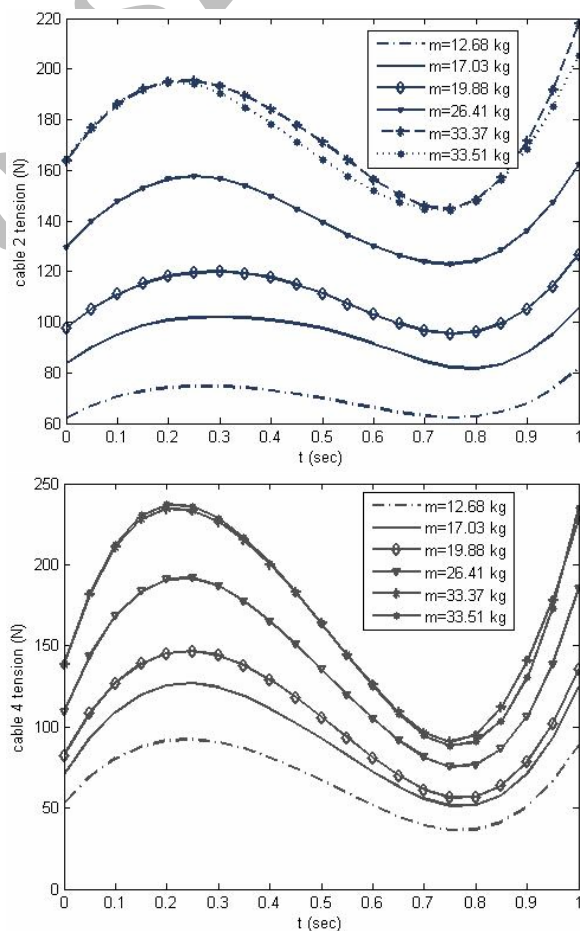
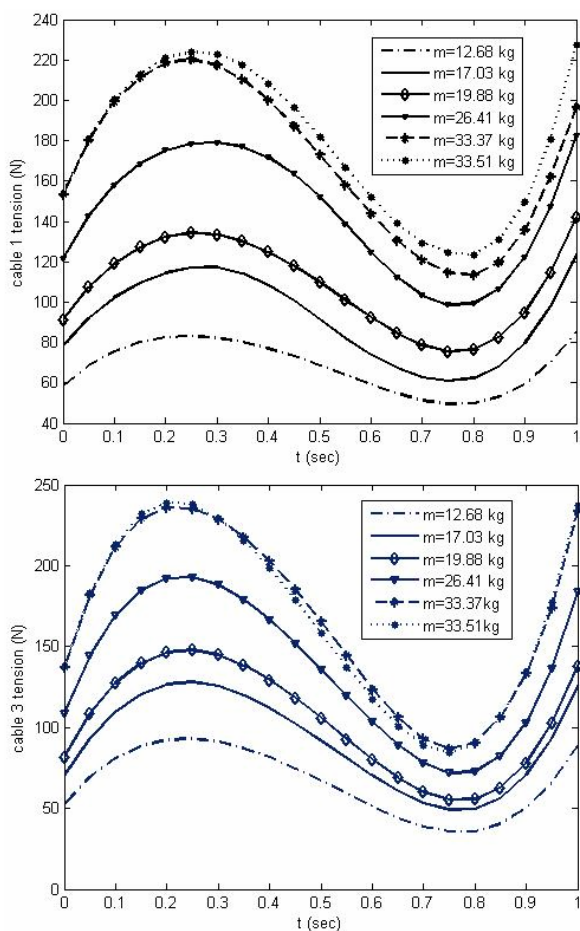
شکل(۸): گشتاور موتور شماره(۱) طی حرکت بر روی مسیر بهینه

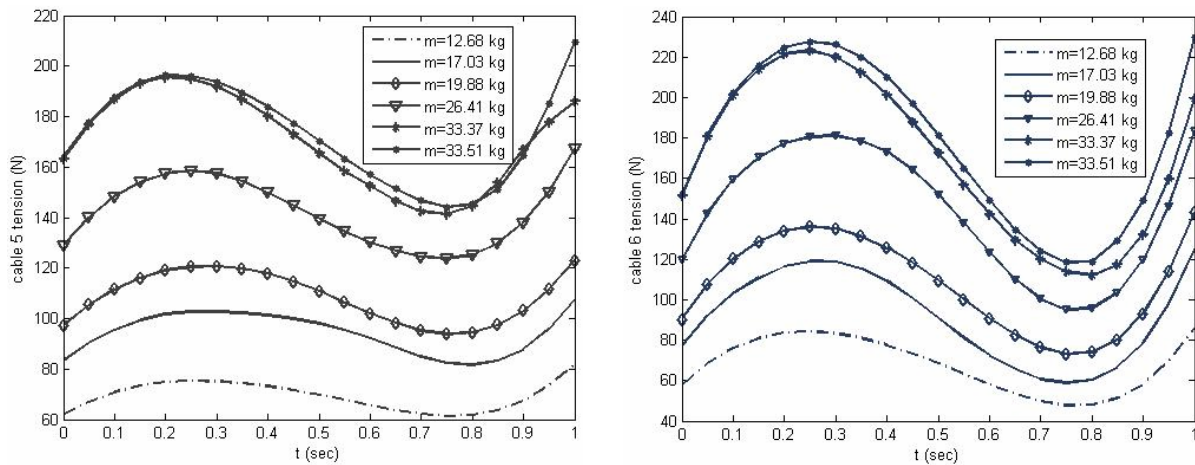


شکل(۱۳): گشتاور موتور شماره(۶) طی حرکت بر روی مسیر بهینه



شکل(۱۲): گشتاور موتور شماره(۵) طی حرکت بر روی مسیر بهینه





شکل (۱۴): نمودار کشش کابل ها به ازای جرم های مختلف

$$C(q, \dot{q})\ddot{q} = \begin{pmatrix} 0 \\ 0 \\ 0 \\ C_4 \\ C_5 \\ C_6 \end{pmatrix} \quad \text{و} \quad G(q) = \begin{pmatrix} 0 \\ 0 \\ -m \cdot g \\ 0 \\ 0 \\ 0 \end{pmatrix}$$

$$\begin{aligned} D_{46} &= \left( \frac{mb^2}{6} + \frac{mth^2}{12} \right) \cdot S\theta, \quad D_{44} = \frac{mb^2}{6} + \frac{mth^2}{12} \\ D_{55} &= \left( \frac{mb^2}{6} + \frac{mth^2}{12} \right) \cdot C^2\psi + \frac{mb^2}{3}S^2\psi, \\ D_{56} &= \left( \frac{mb^2}{6} + \frac{mth^2}{12} \right) \cdot S\psi \cdot C\theta \cdot C\psi - \frac{mb^2}{3} \cdot C\psi \cdot C\theta \cdot S\psi \\ D_{64} &= -\left( \frac{mb^2}{6} + \frac{mth^2}{12} \right) \cdot S\theta, \\ D_{65} &= \left( \frac{mb^2}{6} + \frac{mth^2}{12} \right) \cdot S\psi \cdot C\theta \cdot C\psi - \frac{mb^2}{3} \cdot C\psi \cdot C\theta \cdot S\psi \\ D_{66} &= \left( \frac{mb^2}{6} + \frac{mth^2}{12} \right) \cdot S^2\theta + \left( \frac{mb^2}{6} + \frac{mth^2}{12} \right) \cdot S^2\psi \cdot C^2\theta \\ &\quad + \frac{mb^2}{3} \cdot C^2\psi \cdot C^2\theta \end{aligned}$$

$$J = \begin{bmatrix} \frac{\partial L_1}{\partial x} & \frac{\partial L_1}{\partial y} & \frac{\partial L_1}{\partial z} & \frac{\partial L_1}{\partial \psi} & \frac{\partial L_1}{\partial \theta} & \frac{\partial L_1}{\partial \varphi} \\ \frac{\partial L_2}{\partial x} & \frac{\partial L_2}{\partial y} & \frac{\partial L_2}{\partial z} & \frac{\partial L_2}{\partial \psi} & \frac{\partial L_2}{\partial \theta} & \frac{\partial L_2}{\partial \varphi} \\ \frac{\partial L_3}{\partial x} & \frac{\partial L_3}{\partial y} & \frac{\partial L_3}{\partial z} & \frac{\partial L_3}{\partial \psi} & \frac{\partial L_3}{\partial \theta} & \frac{\partial L_3}{\partial \varphi} \\ \frac{\partial L_4}{\partial x} & \frac{\partial L_4}{\partial y} & \frac{\partial L_4}{\partial z} & \frac{\partial L_4}{\partial \psi} & \frac{\partial L_4}{\partial \theta} & \frac{\partial L_4}{\partial \varphi} \\ \frac{\partial L_5}{\partial x} & \frac{\partial L_5}{\partial y} & \frac{\partial L_5}{\partial z} & \frac{\partial L_5}{\partial \psi} & \frac{\partial L_5}{\partial \theta} & \frac{\partial L_5}{\partial \varphi} \\ \frac{\partial L_6}{\partial x} & \frac{\partial L_6}{\partial y} & \frac{\partial L_6}{\partial z} & \frac{\partial L_6}{\partial \psi} & \frac{\partial L_6}{\partial \theta} & \frac{\partial L_6}{\partial \varphi} \end{bmatrix}$$

## ۷- نتیجه گیری

هدف اصلی این مقاله یافتن حداکثر ظرفیت حمل بار دینامیکی برای روبات های کابلی در حالت صلب بین دو نقطه داده شده از فضای کاری روبات بود. برای این کار الگوریتم برنامه ریزی خطی تکرار پذیر با اعمال دو قید گشتاور موتورها و قید فضای کاری برای تضمین کشش مثبت در کابل ها ارائه شد. یک مورد شبیه سازی نیز برای نشان دادن صحت الگوریتم ذکر شده انجام گرفت و مشاهده شد که وقتی روبات کابلی در امتداد مسیر بهینه حرکت می کند اثرات اینرسی بار حداقل شده و موتورها در اکثر مسیر حرکت با حداکثر گشتاور ممکن کار می کنند و موتورهای شماره ۳ و ۴ در زمان ۰،۳ ثانیه به باند بالای گشتاور موتورها برخورد کرده اند و برای لحظه ای به اشباع رسیده اند. برای نشان دادن پایداری روبات، طی فرآیند تعیین حداکثر بار مجاز، کشش تک تک کابل ها به ازای جرم های مختلف بدست آمده اند. برای روبات کابلی شبیه سازی شده  $m_{Load} = ۳۳/۳۷$  به مقدار ۱۲/۶۸ Kg رسیده است.

## ۸- ضمیمه

اجزاء ماتریس های اینرسی و ژاکوبین و بردار کریوپلیس به صورت زیر تعریف می شوند:

$$D(q) = \begin{bmatrix} m & 0 & 0 & 0 & 0 & 0 \\ 0 & m & 0 & 0 & 0 & 0 \\ 0 & 0 & m & 0 & 0 & 0 \\ 0 & 0 & 0 & D_{44} & 0 & D_{46} \\ 0 & 0 & 0 & 0 & D_{55} & D_{56} \\ 0 & 0 & 0 & D_{64} & D_{65} & D_{66} \end{bmatrix}$$

## -۹- مراجع

- [1] Albus, J., Bostelman, R. and Dagalakis, N., "The NIST Robocrane", Journal of Robotic Systems 10,1992, pp. 709-724.
- [2] Barrette, G. and Gosselin, C., "Determination of the Dynamic Workspace of Cable - Driven Planar Parallel Mechanisms", Transactions of the ASME., 127, 2005, pp. 242 - 248.
- [3] Pusey, J. Fattah, A. and Agrawal, S. "Design and Workspace Analysis of a 6-6 Cable - Suspended Parallel Robot", Mechanism and Machine Theory., 39, 2004, pp. 761-778.
- [4] Wang, L. T. and Ravani, B., "Dynamic Load Carrying Capacity of Mechanical Manipulators: I. Problem Formulation", J Dyn Syst Meas Control., 110, 1988, pp. 46-52.
- [5] Wang, L. T. and Ravani, B., "Dynamic Load Carrying Capacity of Mechanical Manipulators: II.Computational Procedure and Applications", J Dyn Syst Meas Control., 110, 1988, pp. 53-61.
- [6] Korayem, M. H. and Ghariblu, H., "Maximum Allowable Load of Mobile Manipulator for Two Given end Points of End-Effector", Int JAdv Manuf Technol., 24, 2004, pp. 743-751.
- [7] Korayem, M. H. and Bamdad, M., "Dynamic Load-Carrying Capacity of Cable-Suspended Parallel Manipulators", Int J Adv Manuf Technol., 44, 2008, pp. 829-840.
- [8] Najafi, Kh., "Dynamic Analysis of Cable Driven Robots in the Presence of the Flexibility and Finding Dynamic Load Carry Capacity on Optimal Trajectory", MSc. thesis, College of Mechanical Engineering, Islamic Azad University, Science and Research Campus, Tehran, 2009.
- [9] Gallina, P. Rossi, A. and Williams, R. L., "Planar Cable-Direct Driven Robots: Dynamic and Control", Proceedings of the DETC2001/ASME Design Engineering Technical Conferences, Pittsburgh, PA 200.

$$\{\dot{L}\}_{6 \times 1} = [J]_{6 \times 6} \{\dot{q}\}_{6 \times 1}$$

$$\begin{aligned}
C_4 &= -\left(\frac{mb^2}{6} + \frac{mth^2}{12}\right)C\theta\dot{\phi}\dot{\theta} - \left(\frac{mb^2}{6} + \frac{mth^2}{12}\right) \\
&\quad (C\psi\dot{\theta} + S\psi C\theta\dot{\phi})(-S\psi\dot{\theta} + C\psi C\theta\dot{\phi})... \\
&\quad - \frac{mb^2}{3}(-S\psi\dot{\theta} + C\psi C\theta\dot{\phi})(-C\psi\dot{\theta} - S\psi C\theta\dot{\phi}) \\
C_5 &= \left(\frac{mb^2}{6} + \frac{mth^2}{12}\right)(-S\psi\dot{\theta} + C\psi C\theta\dot{\phi})C\psi - \left(\frac{mb^2}{6} + \frac{mth^2}{12}\right) \\
&\quad (C\psi\dot{\theta} + S\psi C\theta\dot{\phi})S\psi... \\
&\quad - \frac{mb^2}{3}(-C\psi\dot{\theta} - S\psi C\theta\dot{\phi})S\psi - \frac{mb^2}{3} \\
&\quad (-S\psi\dot{\theta} + C\psi C\theta\dot{\phi})C\psi).\psi... \\
&\quad + \left(\left(\frac{mb^2}{6} + \frac{mth^2}{12}\right)S\psi S\theta\dot{\phi}C\psi + \frac{mb^2}{3}C\psi S\theta\dot{\phi}S\psi\right)\dot{\theta}... \\
&\quad \left(\frac{mb^2}{6} + \frac{mth^2}{12}\right)(\psi - S\theta\dot{\phi})C\theta\dot{\phi} \\
&\quad + \left(\frac{mb^2}{6} + \frac{mth^2}{12}\right)(C\psi\dot{\theta} + S\psi C\theta\dot{\phi}).S\psi S\theta\dot{\phi}... \\
&\quad + \frac{mb^2}{3}(-S\psi\dot{\theta} + C\psi C\theta\dot{\phi})C\psi S\theta\dot{\phi} \\
C_6 &= \left(\frac{mb^2}{6} + \frac{mth^2}{12}\right) \\
&\quad (-S\psi\dot{\theta} + C\psi C\theta\dot{\phi})S\psi C\theta + \left(\frac{mb^2}{6} + \frac{mth^2}{12}\right) \\
&\quad (C\psi\dot{\theta} + S\psi C\theta\dot{\phi})C\psi C\theta... + \frac{mb^2}{3}(-C\psi\dot{\theta} - S\psi C\theta\dot{\phi}) \\
&\quad C\psi C\theta - \frac{mb^2}{3}(-S\psi\dot{\theta} + C\psi C\theta\dot{\phi})S\psi C\theta).\psi... \\
&\quad \left(\frac{mb^2}{6} + \frac{mth^2}{12}\right)C\theta\dot{\phi}S\theta - \left(\frac{mb^2}{6} + \frac{mth^2}{12}\right). \\
&\quad + \left(\dot{\psi} - S\theta\dot{\phi}\right)C\theta - \left(\frac{mb^2}{6} + \frac{mth^2}{12}\right)S^2\psi S\theta\dot{\phi}C\theta... \\
&\quad - \left(\frac{mb^2}{6} + \frac{mth^2}{12}\right)(C\psi\dot{\theta} + S\psi C\theta\dot{\phi})S\psi S\theta - \\
&\quad \left(\frac{mb^2}{3}C^2\psi S\theta\dot{\phi}C\theta - \frac{mb^2}{3}(S\psi\dot{\theta} + C\psi C\theta\dot{\phi})C\psi S\theta\right)
\end{aligned}$$